

# اثر پارامترهای هندسی بالک‌ها در مشخصات آیرودینامیکی پرتابه‌های مافق صوت

محمود پساندیده فرد<sup>۱</sup> و عباس خلقانی<sup>۲\*</sup>

گروه مهندسی مکانیک

دانشکده مهندسی

دانشگاه فردوسی مشهد

(تاریخ دریافت: ۸۹/۱۱/۲۳؛ تاریخ پذیرش: ۹۰/۷/۱۳)

## چکیده

در مقاله حاضر جریان سه بعدی غیر لزج به روش چند بلوکی مجزا برای پرتابه کامل در ماخ ۵ و زاویه حمله ۱ درجه و چندین مدل بالک حل شده است. یک مدل مبنا برای شکل بالک در نظر گرفته شده و سپس با تغییر هندسه بالک و حل جریان برای کل پرتابه، تأثیر این تغییرات روی خواص آیرودینامیکی، از جمله برآ، پسا، ضربی گشتاور پایداری و گشتاور پیچشی بررسی شده است. سپس، ضربی کارائی بالک از ترکیب نیروی محوری و گشتاور پایداری پیشنهاد و الگوریتمی برای طراحی بالک بهینه استخراج شده است. بر اساس این پژوهش، هندسه مناسب بالک آن است که لبه حمله به صورت خط راست و با شیب بزرگ‌تر باشد، لبه پشت بالک محدب و طول بالک‌ها افزایش یابد و تعداد بالک‌ها حدود ۷ باشد.

**واژه‌های کلیدی:** آیرودینامیک، پرتابه، بالک، بهینه سازی، پسا، پایداری

## Aerodynamic Shape Optimization of Supersonic Projectile Fins

M. Pasandideh-Fard and A. Khalghani

Mech. Eng. Group

Faculty of Eng.

Ferdowsi University of Mashhad

(Received: 12 Feb., 2011; Accepted: 5 Oct., 2011)

## ABSTRACT

The aim of this work is to find an efficient aerodynamic-based design algorithm for projectile fins and configuration shape optimization. Three-dimensional supersonic flow over a projectile with fins at Mach number 5 and one degree angle of attack was studied. The Runge-Kutta method and multi-block technique was used to solve the governing equations. A basic configuration was assumed for the fins. The front and rear straight edges of the fins were replaced with polynomial curved edges and the aerodynamic effects were considered. Using this method, the optimized shape of these edges were achieved. At this step, the geometrical parameters of fins and projectile were changed and their effects on drag and stability moment were investigated. The CFD code was ran for several different geometries and the effect of each parameter was investigated. At the end, the design algorithm of fins was derived and configuration shape optimization of projectile's body and fins for one example was presented.

**Keywords:** Aerodynamics, Shape Optimization, Projectile Fins, Projectile, Drag, Stability

۱- دانشیار: fard\_m@um.ac.ir

۲- دانشجوی دکتری (نویسنده پاسخگو): akhalghani@gmail.com

**۱- مقدمه**

به بهینه‌سازی هندسه ایرفویل پرداختند. هدف آنها کاهش پسا، همراه با قید ضریب برآ ثابت، بود. والتر<sup>۳</sup>، طی یک پروژه تحصیلی، با بهینه‌سازی هندسه دماغه در صدد کاهش نوسان فشار و کاهش ضریب نیروی محوری موشك بوده است. جریان‌های برگشتی انتهای بال باعث کاهش بالابر می‌شوند. جاکوب و ویرمن<sup>۴</sup>، اثر بالچه بر کاهش جریان‌های برگشتی را در هوایپیمای بدون سرنشین بررسی کردند. آنها شکل بالچه را، بر اساس حداکثر شدن نسبت برآ به پسا، به روش پارامتریک بهینه‌سازی کردند. یانگوان<sup>۵</sup> و همکارانش [۵]، به روش الگوریتم ژنتیک به بهینه‌سازی هندسه بدنه شاتل پرداختند. هدف آنها افزایش نسبت برآ به پسا، افزایش پایداری ایرودینامیکی، کاهش گرمایش ایرودینامیکی و افزایش فضای داخل بدنه بود.

آلن و رندال<sup>۶</sup> [۶]، تیغه روتور یک هلیکوپتر را بهینه‌سازی کردند؛ آنها به دنبال کمترین گشتاور لازم برای دوران روتور بودند و مقدار نیروی بالابر، حجم و گشتاور پیچشی تیغه را به عنوان سه محدودیت در نظر گرفتند. فرهات<sup>۷</sup> و همکارانش [۷]، بهینه‌سازی هندسه هوایپیمای موفق صوت را، جهت کمینه‌سازی صدای حاصل از شکست دیوار صوتی، بررسی کردند. آنها در بررسی خود توانستند، با ثابت نگه داشتن نیروی بالابر، فشار امواج شوک را در ماخ ۱/۵ در نوعی هوایپیما از ۵۸ به ۳۲ و در هوایپیمایی دیگر از ۷۷ به ۷ پاسکال کاهش دهنده.

لسویتره<sup>۸</sup> و همکارانش [۸]، در صدد بهبود هندسه بالک‌های موشك برای کاهش گشتاور حول مفصل بالک بوده‌اند تا بتوان از بالک‌های انعطاف‌پذیر سود جست. نلسون<sup>۹</sup> و همکارانش [۹] به دنبال بالک‌هایی برای موشك بالستیکی بودند که در کمترین قطر موشك، بیشترین پایداری را ایجاد کنند. نوبهاری و همکارانش [۱۰]، بهینه‌سازی هندسه یک راکت را با هدف افزایش حداکثر برد و کاهش حداقل برد بررسی کردند. آنها در هندسه راکت ۷ پارامتر هندسی مهم را

تحلیل جریان‌ها حول یک جسم و مطالعه تأثیر پارامترهای هندسی آن در خواص آبودینامیکی، در مکانیک سیالات از اهمیت زیادی برخوردار است. تحقیقات بسیاری جهت بهینه‌سازی هندسی اجسام پرنده برای کاهش پسا، افزایش برآ، افزایش پایداری و ... انجام شده است. هندسه دماغه و بالک‌های مورد استفاده در موشك‌ها و پرتاشهای، نقش عمده‌ای در تعیین میزان پایداری و ضرایب آبودینامیکی دارد. تحقیقات زیادی در راستای بهینه‌سازی شکل دماغه و بالک‌ها به منظور بهبود خواص آبودینامیکی موشك‌ها و پرتاشهای انجام شده است. در فرآیند بهینه‌سازی باستی هدف مشخصی را تعریف کرد و بهینه شدن یک پارامتر معمولاً با نامناسب شدن پارامترهای دیگر همراه است و بنابراین گاهی پارامترهای ترکیبی جدیدی تعریف می‌شوند. همچنین فرآیند بهینه‌سازی عموماً با یک یا چند محدودیت همراه است. رایج‌ترین این محدودیت‌ها ثابت بودن قطر کلی (کالیبر) و وزن کلی است. روش‌های بهینه‌سازی مونت کارلو<sup>۱۱</sup>، الگوریتم ژنتیک<sup>۱۲</sup> کمترین شب تغییرات<sup>۱۳</sup> بیشتر مورد استفاده قرار گرفته‌اند ولی بسیاری از کارهای تحقیقاتی بر اساس مقایسه هندسه‌های متنوع انجام شده است.

یانگ<sup>۵</sup> و همکارانش [۱] هندسه بالک‌های هدایت‌کننده جلو و بالک‌های پایدارکننده عقب یک موشك هدایت‌شونده را به نحوی بهینه کردند که موشك بیشترین برد را داشته باشد. موشك مورد نظر آنها در طی مسیر خود تنوعی از جریان‌های مافق صوت، گذر صوت و مادون صوت را تجربه می‌کند و در واقع نقطه طراحی مشخصی وجود ندارد و برده نهائی در بیگرنده ترکیبی از آثار تمامی رژیم‌های مذکور است. آنها با استفاده از اصلاح ضرایب آبودینامیکی و تحلیل دینامیک پرواز نشان دادند بالک‌های بهینه شده قادرند در صورت هدایت ۲۱/۴ درصد و در صورت عدم هدایت ۵/۸ درصد برد موشك مبنا را افزایش دهند و این نمونه‌ای از منافع بهینه‌سازی است.

حکمت و همکارانش [۲]، به روش کمترین شب تغییرات

5- Walter  
6- Weierman and Jacob  
7- Yongyuan  
8- Allen and Rendall  
9- Farhat  
10- Lesieutre  
11- Nelson

1- Monte-Carlo  
2- Genetic Algorithms  
3- Steepest Descent Algorithm  
4- Yang

پارامترهای بالک، مشخصات آبرودینامیکی بررسی شده و روند رسیدن به طرحی مناسب با بیشترین ضریب کارآیی ارائه شده است.

برای بهبود بهینه‌سازی، بایستی در گام‌های آینده این پژوهش، با استفاده از دینامیک پرواز اثر تغییرات ماخ و زاویه حمله را نیز در نظر گرفت و با توجه به بالستیک نهایی، به جای ضریب کارآیی، پارامتر مناسب‌تری را مدنظر قرار داد که نشان‌دهنده برخورد مؤثرتر پرتابه به هدف زرهی باشد.

## ۲- روش حل عددی، شبکه‌بندی و شرایط مرزی

معادلات ناوبر-استوکس برداری در حالت بی‌بعد، تراکم‌پذیر و پایدار در مختصات استوانه‌ای به صورت زیر است:

$$\frac{\partial W}{\partial t} + \frac{1}{r} \frac{\partial(r \bar{E}_r)}{\partial r} + \frac{1}{r} \frac{\partial \bar{E}_\theta}{\partial \theta} + \frac{\partial \bar{E}_z}{\partial z} = 0, \quad (1)$$

$$\bar{E}_r = E_r^i - E_r^v \quad \bar{E}_\theta = E_\theta^i - E_\theta^v \quad \bar{E}_z = E_z^i - E_z^v,$$

که بردارهای  $E_r^i$  و  $E_\theta^i$  بخش غیر لزج و بردارهای  $E_z^i$  و  $E_\theta^v$  بخش لزج را شامل می‌شوند. بردارهای  $E_r^v$ ،  $E_\theta^v$  و  $E_z^v$  شار به صورت زیر تعریف می‌شوند:

$$w = \begin{bmatrix} \rho \\ \rho u_r \\ \rho u_\theta \\ \rho u_z \\ e \end{bmatrix}, \quad E_j^i = \begin{bmatrix} \rho u_j \\ \rho u_r u_j + \delta_{jr} P \\ \rho u_\theta u_j + \delta_{j\theta} P \\ \rho u_z u_j + \delta_{jz} P \\ \rho u_j h \end{bmatrix}, \quad (2)$$

$$E_j^v = \begin{bmatrix} 0 \\ \tau_{jr} \\ \tau_{j\theta} \\ \tau_{jz} \\ u_r \tau_{jr} + u_\theta \tau_{j\theta} + u_z \tau_{jz} - q_j \end{bmatrix}, \quad j \rightarrow r, \theta, z.$$

$\rho$  دانسیته،  $P$  فشار و  $e$  انرژی کل هستند. فرم انتگرالی این معادله به صورت زیر است:

$$\frac{d}{dt} \int_{\Omega} w d\Omega + \int_{\partial\Omega} \vec{J} \cdot \vec{n} dS = 0, \quad (3)$$

که  $\vec{n} = \bar{E}_r \vec{e}_r + \bar{E}_\theta \vec{e}_\theta + \bar{E}_z \vec{e}_z$  و بردارهای عمود بر سطح و  $\Omega$  حجم المان هستند. انتگرال‌گیری معادله فوق به معادله زیر منجر می‌شود:

$$\frac{dw}{dt} = \frac{1}{\Omega} (Q(w) + AD(w)), \quad (4)$$

متغیر در نظر گرفتند. در هر وضعیت هندسی، برای کل مسیر پرواز، حاصل جمع ضرایب نیروی عمودی را در ماخ‌ها و زوایای حمله مختلف کمینه یا بیشینه کردند. در این پژوهش از الگوریتم ژنتیک و نیز الگوریتمی مشهور به لانه مورچه استفاده شده است. الغرنی<sup>۱</sup> و همکارانش [۱۱] به دنبال بالک-بالک‌هایی برای یک موشک موفق صوت بودند که بیشترین نسبت برآ به پسا را ایجاد کنند.

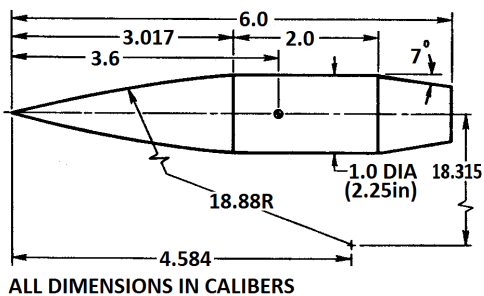
تیزینگر<sup>۲</sup> و همکارانش [۱۴-۱۲]، بهینه‌سازی هندسه دماغه سپر حرارتی مربیخ‌نورد را بررسی کردند. هدف آنها دستیابی به هندسه‌ای از دماغه بود که حداکثر پسا، حداقل تولید حرارت، حداکثر پایداری و حداکثر فضای داخلی را دارد باشد. رالابنده<sup>۳</sup> [۱۵]، نیز در پایان‌نامه دکتری خود، بهینه‌سازی هندسه بدنی یک هواپیمای موفق صوت را، جهت کمینه‌سازی صدای حاصل از شکست دیوار صوتی، بررسی کرد.

هدف از پژوهش حاضر کاهش افت سرعت و افزایش دقت یک گلوله ضد زره است که در ماخ ۵ به سمت هدفی مستقیم شلیک می‌شود. به دلیل مسیر کوتاه، رژیم جریان تقریباً ثابت است و کاهش افت سرعت با پسایی کم و افزایش دقت با پایداری زیاد حاصل می‌شود. بنابراین یک ضریب ترکیبی، از نسبت ضریب گشتاور پایداری به ضریب نیروی محوری، به نام ضریب کارآیی تعریف شده است که هدف حداکثر شدن آن است. در این پژوهش یک پرتابه کامل همراه بالک‌های آن در جریان غیر لزج سه‌بعدی با ماخ ۵ و زاویه حمله ۱ درجه مورد بررسی قرار گرفته است و هدف آن است که با تغییر هندسه بالک کمترین نیروی محوری همراه با بیشترین پایداری حاصل شود. محدودیت هندسی مورد نظر ثابت بودن کالیبر است. بدین منظور برای بالک‌ها یک مدل مبنا معرفی و ابتدا تأثیر لبه پشت بالک با فرض ثابت بودن دیگر مشخصات بالک و پرتابه بررسی شده است. سپس لبه جلویی بالک با یک منحنی درجه سوم جایگزین شده تا بتوان لبه بالک‌های متنوعی را تولید کرد و با استفاده از آن شکل بهینه یک بالک با فرض ثابت ماندن بقیه متغیرها به دست آمده است. در نهایت با استفاده از نتیجه‌های به دست آمده از تغییر بقیه

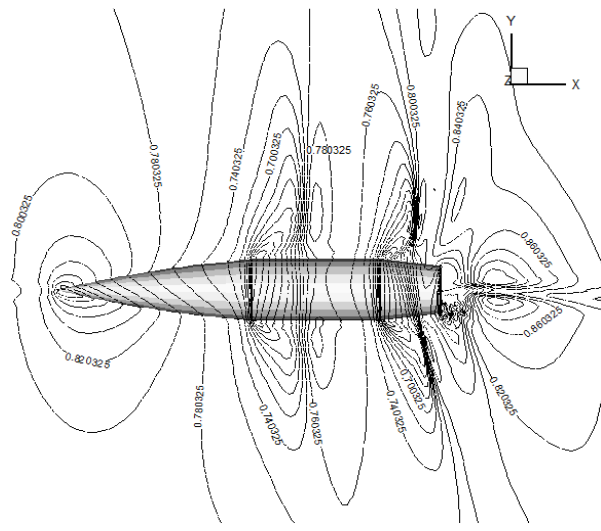
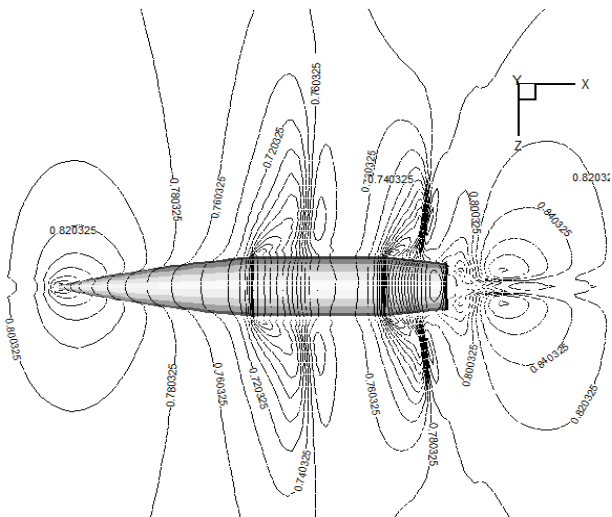
1- Al-Garni

2- Theisinger

3- Rallabhandi



شکل (۱): هندسه یک پرتابه بدون بالک.

شکل (۲): خطوط هم تراز فشار در صفحات رو به باد - پشت به باد و ناحیه پایه پرتابه ( $M_\infty = 0.96$ ,  $\alpha = 4^\circ$ ).شکل (۳): خطوط هم تراز فشار در صفحه عمود بر صفحات رو به باد - پشت به باد ( $M_\infty = 0.96$ ,  $\alpha = 4^\circ$ ).

شکل‌های ۲-۳ خطوط هم تراز فشار، که این کد در اطراف پرتابه محاسبه کرده است را نشان می‌دهند. این

که  $(AD(w))$  ترم اتلافات و  $(Q(w))$  شار جایه‌جایی است که با انتگرال گیری روی سطح به دست می‌آید.

جیمسون<sup>۱</sup> [۱۶]، برای انفصال معادلات فوق، از روش حجم محدود استفاده و برای گام زمانی در زمان روش رانگ-کوتای اصلاح شده را همراه با چند دسته از جملات اتلافی به کار برد. در عمل ثابت شده است که روش رانگ-کوتا روشی بسیار مؤثر برای حل معادلات اویلر است. در برنامه رایانه‌ای، که برای حل معادلات اویلر به روش حجم محدود تنظیم شده است، نیز روش چهار مرحله‌ای رانگ-کوتا به کار رفته است که دارای دقت مرتبه دوم در مکان و مرتبه چهارم در زمان است. این روش مذکور از رابطه زیر برای حل معادله (۴) استفاده می‌کند:

$$w^{(k)} = w^{(0)} - \alpha_k \frac{\Delta t}{J^{-1}} \left[ D_r \hat{E}_r^{(k-1)} + D_\theta \hat{E}_\theta^{(k-1)} + D_z \hat{E}_z^{(k-1)} - AD \right]. \quad (5)$$

در رابطه فوق،  $w^{(0)}$  مقدار  $w$  در ابتدای گام زمانی است.  $k$  نشان‌دهنده مرحله است و برای هر گام زمانی، از یک تا چهار (در طرح چهار مرحله‌ای) تغییر می‌کند. مقدار  $w$  در انتهای گام زمانی، برابر با  $w^{(4)}$  قرار می‌گیرد.  $D$  عملگر تفاضلی و

جمله مربوط به اتلاف مصنوعی است. با فرض:

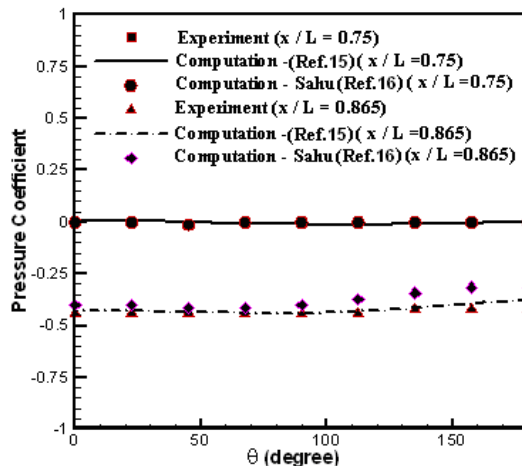
$$R^{(k-1)} = \left[ D_r \hat{E}_r^{(k-1)} + D_\theta \hat{E}_\theta^{(k-1)} + D_z \hat{E}_z^{(k-1)} - AD \right]$$

رابطه (۵) را می‌توان به صورت زیر نوشت:

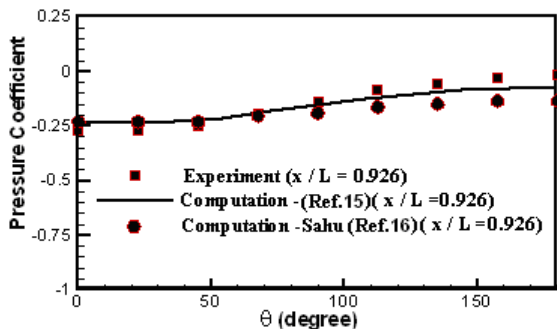
$$w^{(k)} = w^{(0)} - \alpha_k \frac{\Delta t}{J^{-1}} R^{(k-1)}, \quad \alpha_k = \left( \frac{1}{4}, \frac{1}{3}, \frac{1}{2}, 1 \right). \quad (6)$$

ضرایب  $\alpha_k$  به گونه‌ای تعیین می‌شوند که بازه پایداری بیشینه شود. برنامه رایانه‌ای مورد استفاده توسط م. پسنیدیده فرد، م. ملک جعفریان و ح. منتظری [۱۷-۱۸] ارائه شده است. همچنین اعتبار کد مورد استفاده در مقایسه با نتیجه‌های تجربی برای پرتابه‌های بدون بالک در مراجع [۱۷] و [۱۹] کاملاً تأیید شده است.

در مراجع مذکور جهت اعتبارسنجی کد، جریان گذر صوتی  $M_\infty = 0.96$  در اطراف پرتابه‌ای بدون بالک شکل ۱ با زاویه حمله  $\alpha = 4^\circ$  توسط این کد مورد حل عددی قرار گرفته است.

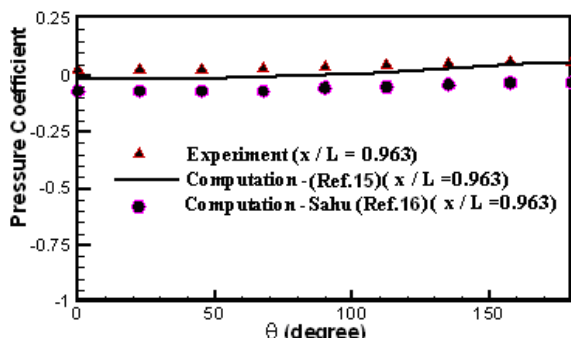


شکل (۶): توزیع ضریب فشار محیطی سطح در موقعیت‌های طولی  $x/L = 0.865, 0.75$ .



شکل (۷): توزیع ضریب فشار محیطی سطح در موقعیت طولی  $x/L = 0.926$ .

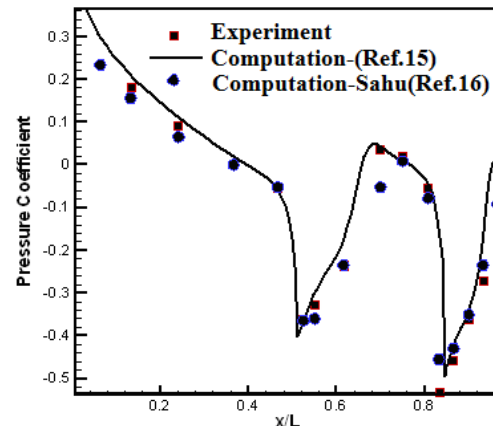
با اطمینان از عملکرد صحیح کد، به تحلیل عددی یک پرتابه بالکدار که در شکل ۹ نشان داده شده است، پرداخته شد.



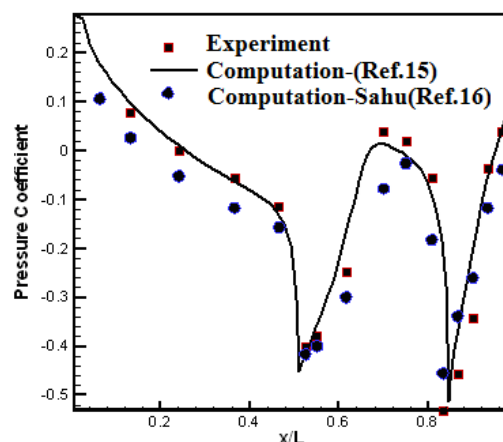
شکل (۸): توزیع ضریب فشار محیطی سطح در موقعیت طولی  $x/L = 0.963$ .

نتیجه‌ها با نتیجه‌های حل عددی ساهو<sup>۱</sup> [۲۰] و اندازه‌گیری‌های تجربی کیسر<sup>۲</sup> و همکاران [۲۱]، در شکل‌های ۴-۸ مقایسه شده است.

ضریب فشار سطح، به صورت تابعی از موقعیت طولی برای صفحات رو به باد و پشت به باد، در شکل‌های ۴-۵ نمایش داده شده است. همچنین در شکل‌های ۶-۸ توزیع فشار محیطی سطح در موقعیت‌های طولی  $x/L = 0.926, 0.865, 0.75, 0.963$  مشاهده می‌شود. در این شکل‌ها تطابق خوبی بین نتیجه‌های این کد با نتیجه‌های عددی ساهو و اندازه‌گیری‌های تجربی کیسر مشاهده می‌شود.



شکل (۴): ضریب فشار سطح در طول پرتابه در صفحه رو به باد ( $M_\infty = 0.96, \alpha = 4^\circ$ ).



شکل (۵): ضریب فشار سطح در طول پرتابه در صفحه پشت به باد ( $M_\infty = 0.96, \alpha = 4^\circ$ ).

با بیش از ۱۲ میلیون گره برای پرتابه‌ای با طول حدود ۵۰ سانتی‌متر بسیار ریز محسوب می‌شود. این شبکه برای تسخیر شوک در ماخ ۵ در نظر گرفته شده و چون حل اویلر خطای عددی کمتری دارد، دقت شبکه ریز بهتر است. جهت حل شبکه‌ای با این تعداد گره و غلبه بر محدودیت‌های رایانه از شبکه چند بلوكی مجزا استفاده شد. این بلوك‌ها المان‌های مشترک مرزی دارند و روش‌های میان‌یابی خاصی برای تعیین خواص جریان در آنها استفاده می‌شود. نحوه شبکه‌سازی چند بلوكی مربوط به مدل‌های مورد تحقیق در این پژوهش، نحوه اعمال شرایط مرزی و نیز روش میان‌یابی دو بعدی در سطح مشترک بلوك‌ها، به طور مشروح در مرجع [۱۸] آمده است.

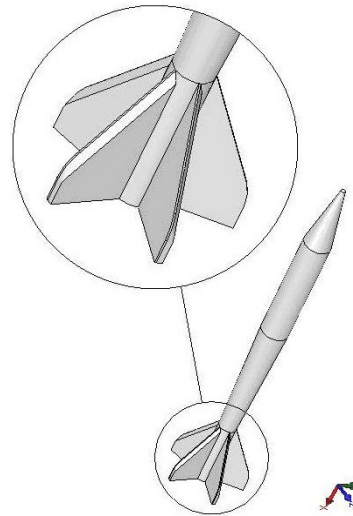
### ۳- پایداری

یکی از موضوعات اساسی در طراحی پرتابه‌ها، پایداری آنهاست. از نظر کمی شرط کافی برای پایداری آن است که مرکز فشار (محل اثر نیروی برآیند آبروودینامیکی) پشت مرکز جرم قرار گیرد. به جز در مورد پرتابه‌های هدایتشونده که بایستی قدرت مانور داشته باشند، یک طرح خوب برای بالک‌ها طرحی است که دارای ضریب نیروی محوری  $C_a$  کمتر باشد و نیز باعث شود پرتابه ضریب گشتاور پایداری  $C_{mz}$  بیشتری داشته باشد. پرتابه‌ای که ضریب گشتاور پایداری بیشتر داشته باشد، در شرایط یکسان زاویه حمله کمتر و بنابراین پسای کمتری خواهد داشت.

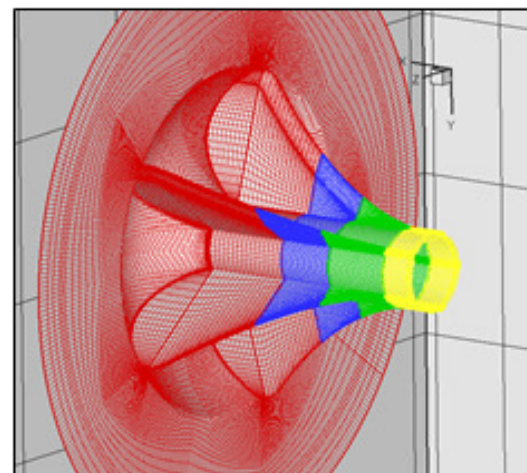
محدودیت‌های در نظر گرفته شده در این پژوهش، این امکان را ایجاد کرده است که بتوان تمام متغیرها را در دو پارامتر ضریب گشتاور پایداری و ضریب پسآ خلاصه کرد. در بررسی یک ایرفویل دوبعدی نیز محققین تمام متغیرها را در دو پارامتر ضریب برآ و ضریب پسآ خلاصه کرده و تا کنون پژوهش‌های فراوانی برای بهینه‌سازی شکل ایرفویل و حداقل کردن ضریب ترکیبی  $C_{Lift} / C_{Drag}$  صورت گرفته است. با الهام از روش بهینه‌سازی شکل ایرفویل دوبعدی و برای مقایسه کمی اثرات تغییر شکل بالک‌ها، ضریب بازده  $G$  به صورت زیر تعریف می‌شود:

$$G = \frac{C_{mz}}{C_a}. \quad (7)$$

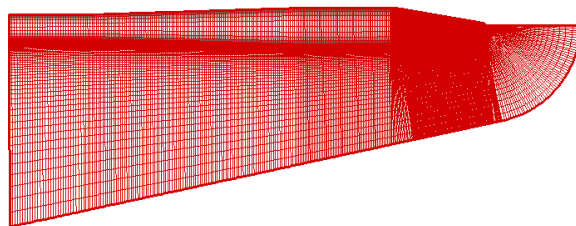
هر چه مقدار  $G$  بیشتر باشد، بازده طرح بالاتر است.



شکل (۹): نمای کلی پرتابه و بالک‌ها.

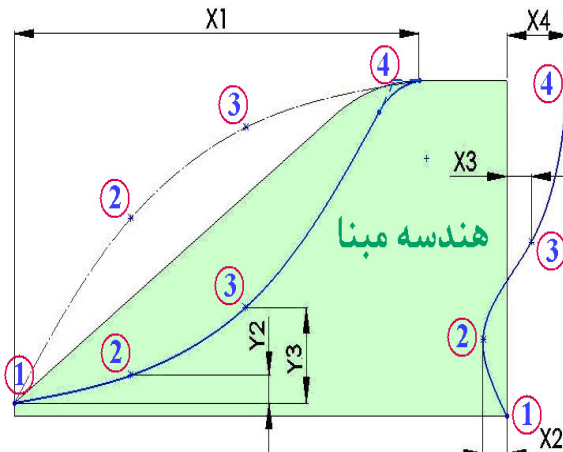


شکل (۱۰): مشبندی محیطی ( $70 \times 400$ ) و روی سطح بالک‌ها.



شکل (۱۱): مشبندی طولی بدون بالک  $70 \times 450$ .

در این پژوهش محاسبات بر اساس حل غیر لزج انجام شده و بنابراین شبکه بر اساس تسخیر شوک و گرادیان فشار ریز شده است و عدم وابستگی حل به شبکه نیز بر این اساس مطالعه شده است. شکل ۱۰ مشبندی محیطی و روی سطح بالک‌ها و شکل ۱۱ مشبندی طولی را نشان می‌دهد. شبکه‌ای



شکل (۱۳): هندسه مینا و متغیرهای لبه‌های جلو و پشت بالک.

هر کدام از منحنی‌ها با استفاده از ۴ نقطه رسم می‌شوند که یکی از آنها ثابت و بقیه متغیر هستند. متغیرهای لبه جلویی X4، Y3 و Y2، X1 و X2 و متغیرهای لبه پشتی X3، X2، Y3 و Y2 هستند. برای به دست آوردن منحنی هموارتر و جلوگیری از ایجاد اعوجاج در ابتدا و انتهای منحنی، که اصطلاحاً پدیده رانج نامیده می‌شود، از چند جمله‌ای‌های چبیشف [۲۲] استفاده شده است. این چند جمله‌ای‌ها پاسخ معادله دیفرانسیل نوع اول چبیشف هستند که در بازه [۰,۱] به صورت زیر تعریف می‌شوند:

$$(1-x^2)y'' - xy' + n^2 y = 0, \quad (6)$$

$$\begin{cases} T_0(x) = 1, \\ T_1(x) = x, \\ T_{n+1}(x) = 2xT_n(x) - T_{n-1}(x). \end{cases}$$

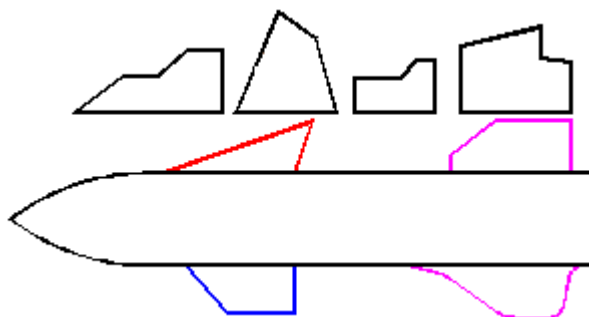
ریشه‌های چبیشف در بازه [a,b] به صورت زیر تعریف می‌شوند:

$$X_i = \frac{1}{2}(a+b) + \frac{1}{2}(b-a)\cos\left(\frac{2i-1}{2n}\pi\right), \quad (7)$$

که در آن،  $i = 1, 2, \dots, n$ . برای ایجاد لبه جلویی ابتدا از چهار نقطه (X1, Y1), (X2, Y2), (X3, Y3) و (X4, Y4) یک چند جمله‌ای درجه سوم عبور داده می‌شود. از چهار نقطه ذکر شده، مختصات (X1, Y1) و (Y4) مشخص است، X2 و X3 از طریق رابطه گره‌های چبیشف به دست می‌آید. X4، Y2 و Y3 به عنوان متغیر در نظر گرفته شده

#### ۴- انحنای لبه‌های پشت و جلوی بالک

بالک‌ها از مهم‌ترین سطوح ایرودینامیکی هستند که عمدتاً به منظور ایجاد پایداری و تولید نیروی برآ طراحی می‌شوند. در پرتاپه مورد نظر این پژوهش وظیفه بالک‌ها، که در انتهای بالک‌ها ناخواسته موجب افزایش قابل توجه درگ می‌شوند. به همین دلیل، محققین تلاش گسترده‌ای می‌کنند تا با پیشنهاد هندسه مناسب برای بالک‌ها، با حفظ مشخصه‌های پایداری، درگ را کاهش دهند.



شکل (۱۲): بالک‌های مرکز فشار ثابت و بالک‌های ۳، ۴ و ۵ ضلعی و منحنی.

چون اکثر پرتاپه‌ها در طی پرواز خود تغییرات سرعت زیاد دارند، مرکز فشار این سطوح نیز جابه‌جا می‌شود. طرح‌های پیچیده‌ای برای کاهش جابه‌جای مرکز فشار ارائه شده که در نمای فوقانی از شکل ۱۲ مشاهده می‌شود، ولی انواع بالک‌های رایج‌تر را می‌توان به چهار حالت ۳ ضلعی، ۴ ضلعی، ۵ ضلعی و بالک با لبه‌های منحنی تقسیم کرد (شکل ۱۲).

هندسه مینا بالکی ذوزنقه‌ای است که دو گوشه آن قائم و یک گوشه دیگر آن دایروی شده است. به منظور تولید هندسه اندک بالک‌های ذکر شده و به کار بردن یک روش کلی برای مقایسه آنها، دو لبه بالا و انتهای بالک با منحنی‌های درجه سوم جایگزین شده است. بدین ترتیب هم می‌توان بالک‌هایی با لبه‌های منحنی تولید کرد و هم شکل‌های متنوع دیگر را با این منحنی‌ها تقریب زد. شکل ۱۳، نحوه ایجاد این منحنی‌ها را به طور شماتیک نشان می‌دهد.

### ۱-۱- اثر انحنای لبه جلوی بالک

به منظور بررسی اثر انحنای جلوی بالک، به ازای هر مقدار  $X1/Slt$  در فاصله (۰،۰)، اندازه‌های  $Y1/h$  و  $Y2/h$  در چند حالت مختلف تغییر داده شده‌اند. مقدار ضریب نیروی محوری

به ازای دو مقدار  $X1/Slt$  در جدول ۱ آورده شده است.

شکل‌های ۱۵-۱۷ کانتور فشار روی سطح بالک‌های مورد مطالعه در ردیف‌های ۱، ۶ و ۱۰ جدول ۱ را نشان می‌دهند. با توجه به مقادیر و روند تغییرات ضریب نیروی محوری که در

شکل ۱۸ نشان داده شده است.

می‌توان گفت که حداقل ضریب نیروی محوری به ازای هر  $X1/Slt$  دلخواه تقریباً در ( $Y2/h=0.73$  و  $Y1/h=0.31$ ) اتفاق می‌افتد. این مقادیر نشان‌دهنده یک خط راست است و اگر لبه جلوی بالک بدون انحنای باشد، نیروی محوری حداقل است. از طرفی ضریب نیروی محوری با افزایش  $X1/Slt$  کاهش می‌یابد. بنابراین،  $X1=Slt$  کمترین نیروی محوری را دارد. نتیجه نهایی آن که بالک مثلثی کمترین نیروی محوری را داراست ولی سطح جانبی این نوع بالک نیز کمترین بوده و ضریب پایداری آن نیز کمترین است.

جدول (۱): اثر انحنای جلوی بالک در ضریب نیروی محوری.

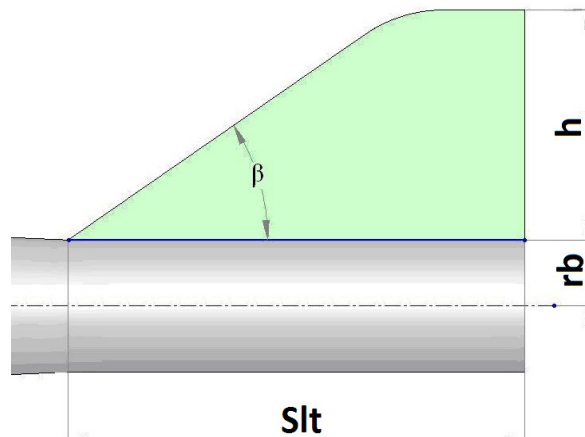
Ca	Y2/h	Y1/h	X1/Slt	
۰/۶۵	۰/۳۱	۰/۱	۰/۹۷	۱
۰/۵۴	۰/۵۲	۰/۱	۰/۹۷	۲
۰/۵۷	۰/۷۳	۰/۱	۰/۹۷	۳
۰/۶۷	۰/۹۴	۰/۱	۰/۹۷	۴
۰/۵	۰/۵۲	۰/۳۱	۰/۹۷	۵
۰/۴۳	۰/۷۳	۰/۳۱	۰/۹۷	۶
۰/۵۷	۰/۹۴	۰/۳۱	۰/۹۷	۷
۰/۵	۰/۷۳	۰/۵۲	۰/۹۷	۸
۰/۵۳	۰/۹۴	۰/۵۲	۰/۹۷	۹
۰/۶۳	۰/۹۴	۰/۷۳	۰/۹۷	۱۰
۰/۶۸	۰/۳۱	۰/۱	۰/۸۸	۱
۰/۵۷	۰/۵۲	۰/۱	۰/۸۸	۲
۰/۶	۰/۷۳	۰/۱	۰/۸۸	۳
۰/۶۸	۰/۹۴	۰/۱	۰/۸۸	۴
۰/۵۱	۰/۵۲	۰/۳۱	۰/۸۸	۵
۰/۴۷	۰/۷۳	۰/۳۱	۰/۸۸	۶
۰/۶۱	۰/۹۴	۰/۳۱	۰/۸۸	۷
۰/۵۳	۰/۷۳	۰/۵۲	۰/۸۸	۸
۰/۵۶	۰/۹۴	۰/۴۲	۰/۸۸	۹
۰/۶۶	۰/۹۴	۰/۷۳	۰/۸۸	۱۰

است. معادله چند جمله‌ای به صورت  $y = ax^3 + bx^2 + cx + d$  است. برآذش خم به روش گوس-سایدل انجام شده است.

برای ایجاد لبه پشت بالک، همانند روشی که برای ایجاد لبه جلویی بالک به کار گرفته شد، با استفاده از چهار نقطه، یک منحنی درجه سوم رسم شده است. مختصه  $Y$  در این چهار نقطه به وسیله روابط چبیشف به دست آمده و مختصه  $X$  این نقاط نیز به دلخواه تغییر داده می‌شود.

### ۵- پارامترهای هندسی دیگر پرتابه و بالک

بعد از پیدا کردن حالت بهینه لبه‌های جلو و پشت، متغیرهای دیگر بالک و پرتابه مورد بررسی قرار گرفته‌اند. شکل ۱۴ نمایی از بالک و متغیرهای مورد نظر را نشان می‌دهد. در این پژوهش ابتدا تأثیر تغییر هر یک از پارامترها، در حالی که سایر پارامترها ثابت نگه داشته شده‌اند، بررسی شده است.

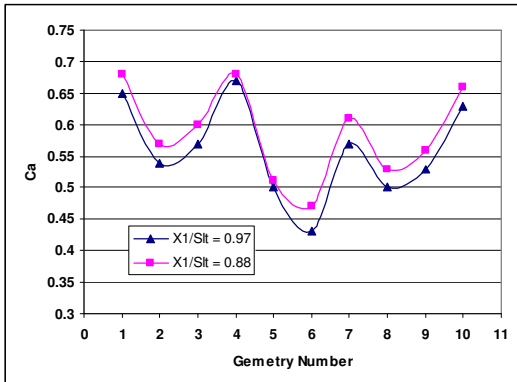


شکل (۱۴): هندسه مبنا و متغیرهای پرتابه و بالک.

پارامترهای متغیر عبارت است از: ارتفاع بالک  $h$ ، تعداد بالک  $n$ ، طول کل بالک  $SLt$ ، زاویه شیب بالک  $\beta$ ، شعاع استوانه انتهایی پرتابه  $rb$  در کلیه موارد ماخ جریان آزاد ۵ و زاویه حمله ۱ درجه است.

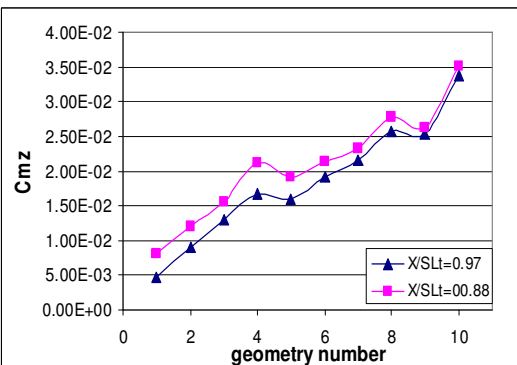
### ۶- نتیجه‌های حل برنامه رایانه‌ای

پارامترهای هندسی بالک تغییر داده شده و هر بار برنامه رایانه‌ای اجرا، و اثر هر پارامتر بررسی شده است.

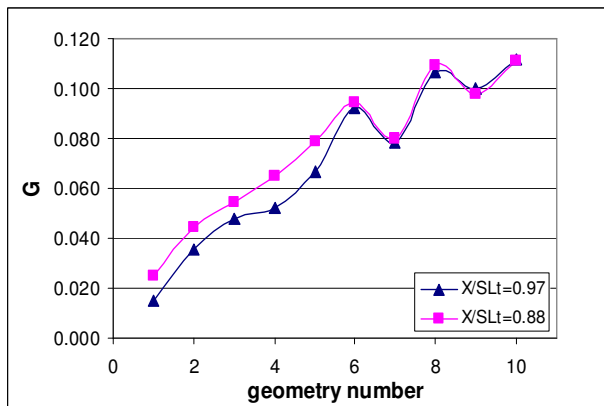


شکل (۱۸): اثر انحنای جلوی بالک در ضریب نیروی محوری.

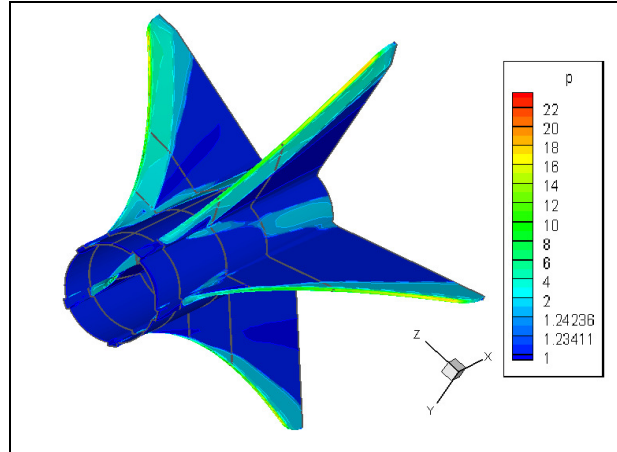
با نگاهی به روند تغییرات ضریب پایداری و ضریب کارایی در شکل‌های ۱۹-۲۰ مشاهده می‌شود که ضریب پایداری و متعاقباً ضریب کارایی بالک محدب (هندسه ۱۰) بیشترین است. علت افزایش ضریب کارایی در بالک محدب آن است که سطح جانبی بالک بسیار بزرگ‌تر است. در این باره در بخش اثر زاویه  $\beta$  بحث خواهد شد.



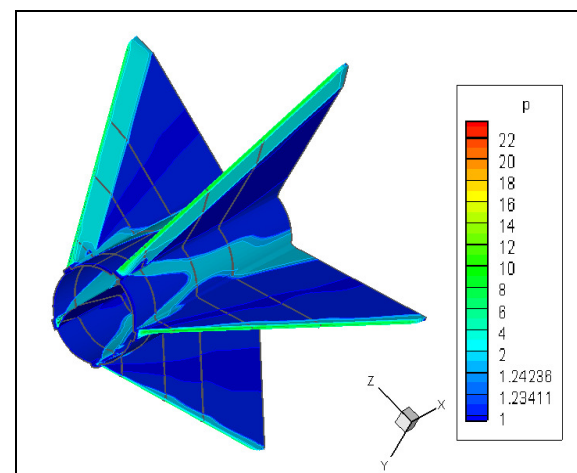
شکل (۱۹): اثر انحنای لبه جلوی بالک بر روی ضریب پایداری.



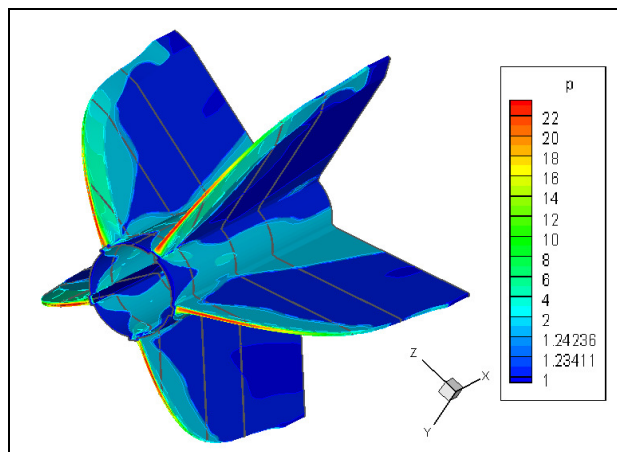
شکل (۲۰): اثر انحنای لبه جلوی بالک بر روی ضریب کارایی.



شکل (۱۵): کانتور فشار روی سطح بالک مقعر (ردیف ۱ جدول).

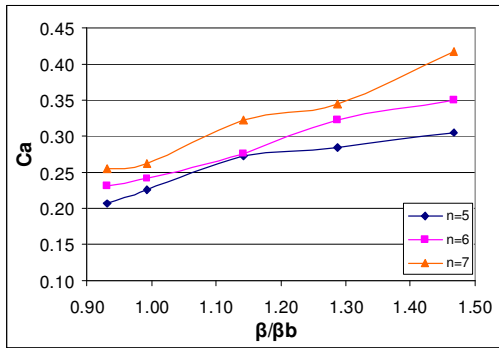


شکل (۱۶): کانتور فشار روی سطح بالک مثلثی (ردیف ۶ جدول).

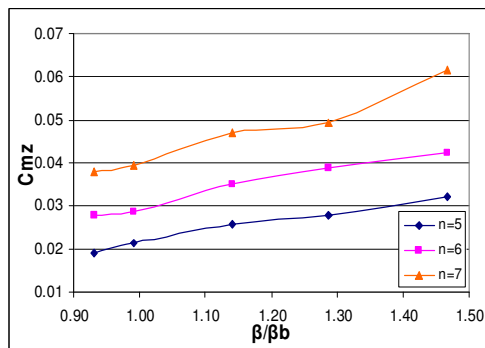


شکل (۱۷): کانتور فشار روی سطح بالک محدب (ردیف ۱۰ جدول).

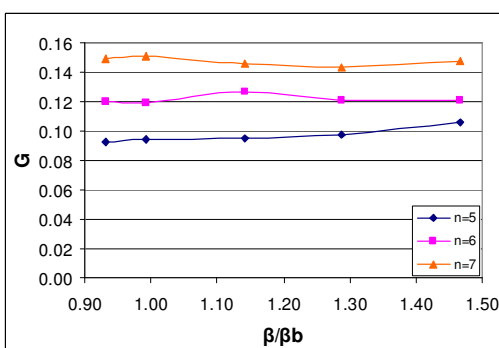
بررسی قرار گرفت. افزایش زاویه  $\beta$  از طرفی موجب بزرگتر شدن سطح جانبی بالک و افزایش پایداری و از سوی دیگر موجب زیاد شدن زاویه برخورد جریان با لبه بالکها و افزایش نیروی محوری می‌شود. شکل‌های ۲۲-۲۳-۲۴ این موضوع را تأیید می‌کند. همچنین، شکل ۲۴ بیانگر این مطلب است که شبیه افزایش گشتاور پایداری اندکی بیشتر از افزایش نیروی محوری است، به عبارت دیگر با افزایش زاویه  $\beta$  ضریب کارائی قدری بیشتر می‌شود.



شکل (۲۲): اثر زاویه شبیه بالک‌ها در ضریب نیروی محوری.



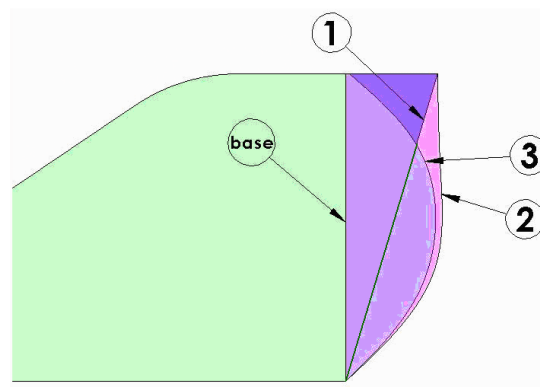
شکل (۲۳): اثر زاویه شبیه بالک‌ها در ضریب پایداری.



شکل (۲۴): اثر زاویه شبیه بالک‌ها در ضریب کارایی.

## ۶-۲-۶- اثر انحنای لبه پشت بالک

به منظور بررسی اثر انحنای پشت بالک، متغیرهای  $X2/h$  و  $X3/h$  و  $X4/h$  در بازه  $[0/30 \text{ و } 0/3]$  در حالت‌های مختلف تغییر داده شده‌اند که سه نمونه آن به علاوه حالت مبنا که خط راست است در شکل ۲۱ و نتیجه‌های آن در جدول ۲ آورده شده است.



شکل (۲۱): حالات مختلف لبه انتهایی بالک.

نتیجه‌ها بیانگر این مطلب است که رابطه ضریب گشتاور پایدارکننده با مساحت سطح جانبی به صورت مستقیم است، یعنی هر قریب مساحت بیشتر باشد ضریب گشتاور پایدارکننده نیز بزرگ‌تر خواهد بود. ضریب درگ نیز تغییر چندانی نشان نمی‌دهد که علت آن ثابت ماندن سطح مقابل جریان است. بنابراین تا حد ممکن باید اینجا به شکلی باشد که مساحت سطح جانبی افزایش یابد و محدودیت‌های ساخت، تعیین کننده شکل نهایی انتهایی بالک است.

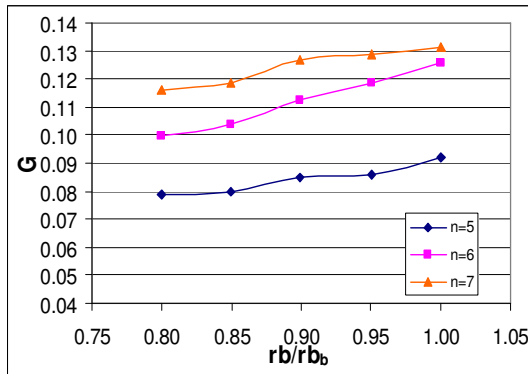
## جدول (۲): اثر انحنای پشت بالک در حالات مختلف.

مبدا	۱	۲	۳
$X2/h$	۰/۱۰	۰/۳۱	۰/۲۷
$X3/h$	۰/۲۱	۰/۳۱	۰/۲۷
$X4/h$	۰/۳۱	۰/۲۷	۰/۰
$Ca$	۰/۲۲۷	۰/۲۲۷	۰/۲۲۷
$Cmz$	۰/۰۲۱۴	۰/۰۳۱۷	۰/۰۲۹۵
$G$	۰/۱۲	۰/۱۴	۰/۱۳

## ۶-۳-۶- اثر تغییر زاویه شبیه بالک‌ها ( $\beta$ )

در هر پرتابه با ۵، ۶ و ۷ عدد بالک، با ثابت نگاه داشتن کالیبر و ارتفاع بالک، به جز هندسه مبدا، چهار زاویه  $\beta$  دیگر مورد

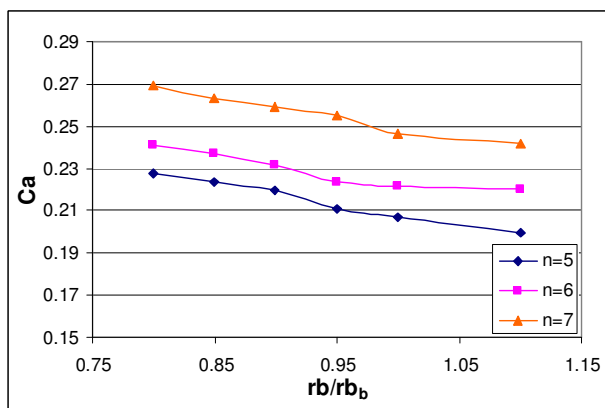
دارد. در نتیجه افزایش شعاع استوانه قسمت پشت بدنه تا حدی که حداقل گشتاور پایداری مورد نظر را تأمین کند، امر مطلوبی خواهد بود.



شکل (۲۷): اثر تغییر شعاع قسمت پشت در ضریب کارایی ارتفاع بالک ثابت.

#### - ۵-۶- اثر تغییر شعاع قسمت پشت برتابه (rb) کالیبر ثابت

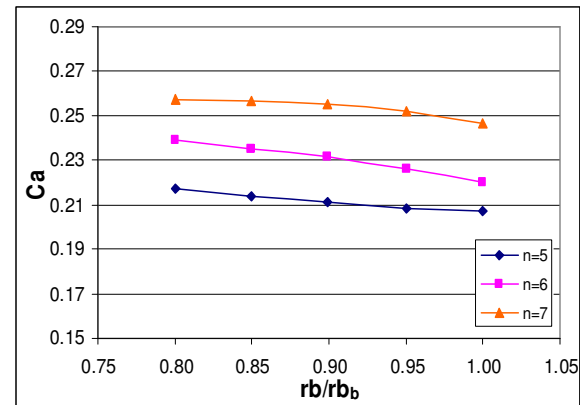
افزایش شعاع قسمت انتهایی بدنه پرتابه (به طوری که مجموع  $rb+h$  و بقیه پارامترهای هندسی ثابت باشند)، باعث کاهش نیروی محوری می‌شود. شدت این کاهش نسبت به حالت قبل بیشتر است. زیرا با افزایش شعاع، ارتفاع بالک کاهش یافته است. افزایش بازوی گشتاور و کاهش سطح بالک دو عامل متناقض است که در نتیجه گشتاور پایداری کمی کاهش می‌یابد. شکل‌های ۲۸-۲۹ بیانگر این موضوع است.



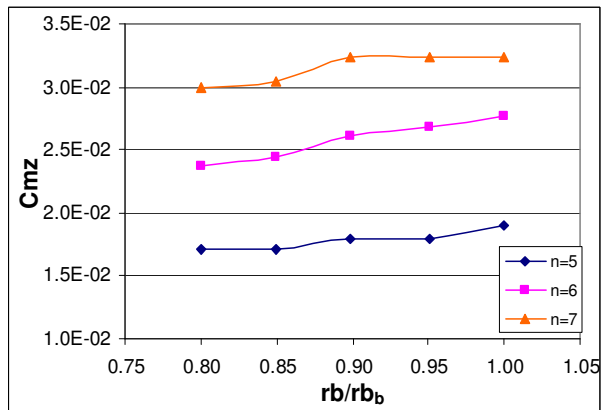
شکل (۲۸): اثر تغییر شعاع استوانه پشت بر ضریب نیروی محوری، کالیبر ثابت.

#### - ۴-۶- اثر تغییر شعاع قسمت پشت پرتابه (rb) ارتفاع بالک ثابت

افزایش شعاع قسمت انتهایی بدنه پرتابه به طوری که بقیه پارامترهای هندسی ثابت باشند، باعث کاهش نیروی محوری می‌شود. به نظر می‌رسد این کاهش نیروی محوری ناشی از کاهش سرعت جریان برخورد کننده به سطح جلوی بالک است.



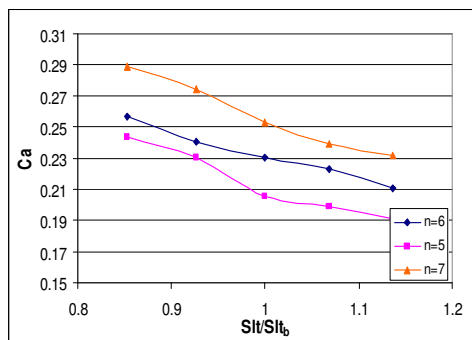
شکل (۲۹): اثر تغییر شعاع قسمت پشت در ضریب نیروی محوری، ارتفاع بالک ثابت.



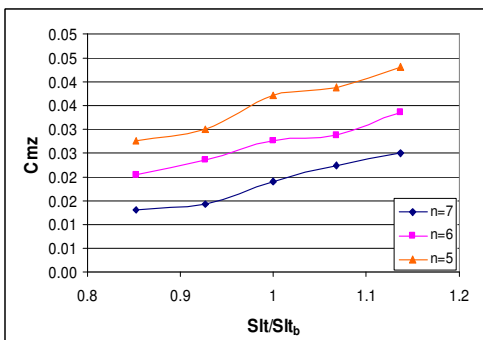
شکل (۳۰): اثر تغییر شعاع قسمت پشت در ضریب پایداری، ارتفاع بالک ثابت.

همچنین افزایش سرعت و کاهش فشار در ناحیه مخروطی و اطراف بالک‌ها موجب افزایش گشتاور پایداری می‌شود. شکل‌های ۲۵-۲۶ بیانگر این موضوع است. با توجه به شکل ۲۷ مشاهده می‌شود که ضریب کارایی افزایش قابل توجهی

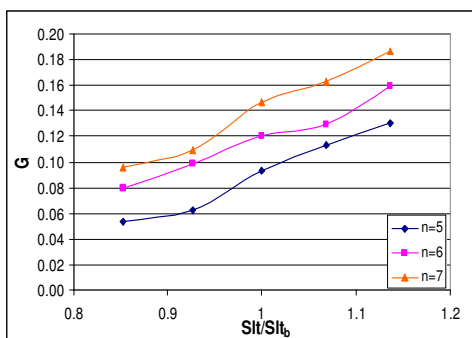
شکل های ۳۲-۳۳ نشان می دهند که افزایش  $Slt$  باعث کاهش قابل توجه نیروی محوری و افزایش پایداری می شود. در حقیقت افزایش  $Slt$  و ثابت ماندن حالت مثلثی باعث کاهش زاویه شبیه جلوی بالک می شود و علی رغم اینکه تصویر سطح مقابل جریان تغییر نمی کند، ضریب نیروی محوری کاهش زیادی از خود نشان می دهد. از مجموع استدلال ها می توان انتظار داشت که ضریب کارایی بالک با افزایش  $Slt$  رشد قابل ملاحظه ای داشته باشد که شکل ۳۴ این موضوع را تأیید می کند.



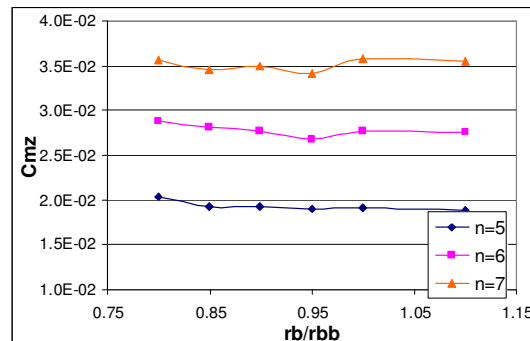
شکل ۳۲- اثر تغییر طول استوانه پشت بر ضریب نیروی محوری.



شکل (۳۳): اثر تغییر شعاع استوانه پشت بر ضریب پایداری.

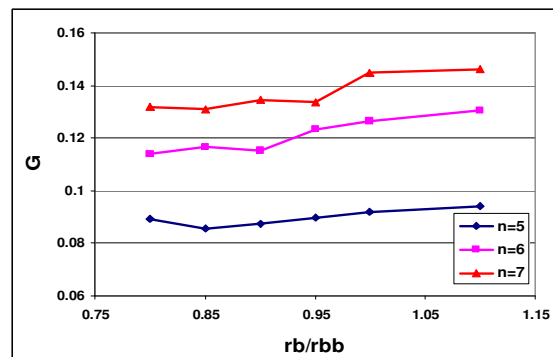


شکل (۳۴): اثر تغییر طول استوانه پشت بر ضریب کارایی.



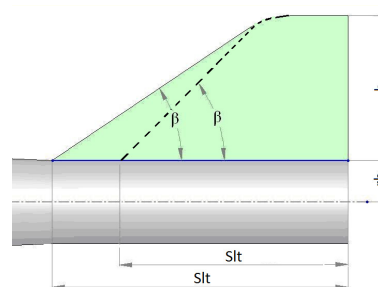
شکل (۳۵): اثر تغییر شعاع استوانه پشت بر ضریب پایداری کالیبر ثابت.

شکل ۳۰ نشان می دهد که در مجموع ضریب کارایی افزایش می یابد و مشاهده می شود که چون تغییرات ضریب پایداری و کارایی کوچک است، در سایه خطای عددی، روند منحنی در  $r_b / r_{bb} = 0.95$  مختل شده است.



شکل (۳۶): اثر تغییر شعاع استوانه پشت بر ضریب کارایی کالیبر ثابت.

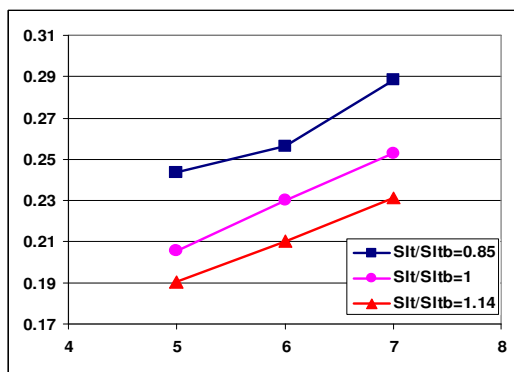
۶-۶- اثر تغییر طول قسمت استوانه ای ( $Slt$ )  
افزایش طول قسمت استوانه ای انتهای بدن پرتا به و یا افزایش طول کل بالک ها باعث افزایش سطح جانبی بالک ها خواهد شد (شکل ۳۱).



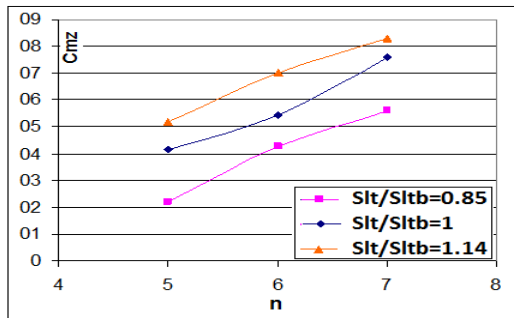
شکل (۳۱): اثر تغییر طول استوانه پشت بر هندسه بالک

#### ۶-۸-۱) اثر تعداد بالک (n)

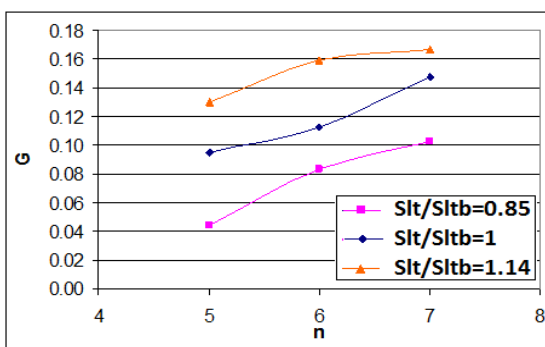
همانطور که انتظار می‌رود طبق اشکال ۳۹ - ۳۸ با افزایش تعداد بالک از ۵ به ۷ ضریب نیروی محوری و ضریب گشتاور پایداری نیز افزایش می‌یابند. شکل ۴۰ نشان می‌دهد در مجموع این دو عامل منجر به افزایش ضریب کارآئی می‌شوند. افزایش اثرات بر هم‌کنش بین بالک‌ها در مدل‌های بیشتر از ۷ بالک موجب کاهش نرخ افزایش ضریب پایدارکنندگی می‌شود و در نهایت افزایش بیش از حد بالک‌ها منجر به آن خواهد شد که عامل افزایش نیروی محوری موجب کاهش ضریب کارآئی شود.



شکل (۳۸): اثر تغییر تعداد بالک‌ها بر ضریب نیروی محوری.



شکل (۳۹): اثر تغییر تعداد بالک‌ها بر ضریب گشتاور پایداری.

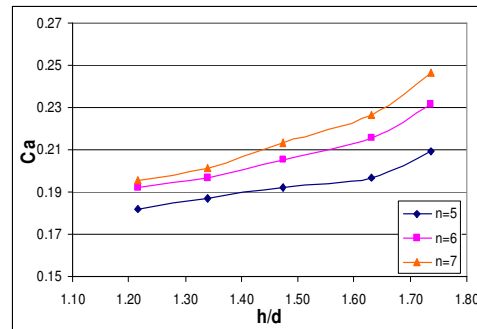


شکل (۴۰): اثر تغییر تعداد بالک‌ها بر ضریب کارآئی.

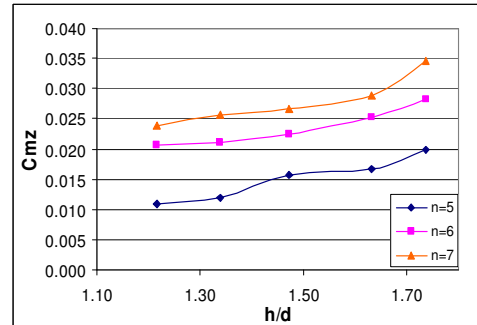
#### ۶-۷-۲) اثر تغییر ارتفاع بالک (h/d)

افزایش ارتفاع بالک در حالی که بقیه پارامترهای هندسی ثابت هستند باعث افزایش سطح مقابله جریان می‌شود که افزایش ضریب نیروی محوری را در پی دارد. این مطلب در شکل ۳۵ نشان داده شده است.

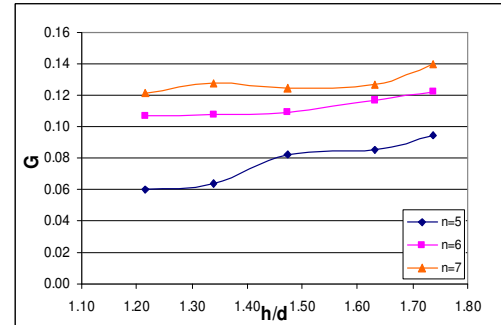
همچنان، مطابق شکل ۳۶ افزایش سطح مقابله جریان موجب افزایش ضریب گشتاور پایداری می‌شود. با توجه به اینکه افزایش سطح جانبی در قسمت انتهای بالک اتفاق می‌افتد، انتظار می‌رود افزایش ضریب گشتاور پایداری بیشتر از ضریب نیروی محوری باشد. افزایش ضریب کارایی در شکل ۳۷ این موضوع را تأیید می‌کند.



شکل (۳۵): اثر تغییر ارتفاع بالک بر ضریب نیروی محوری.



شکل (۳۶): اثر تغییر ارتفاع بالک بر ضریب پایداری.



شکل (۳۷): اثر تغییر ارتفاع بالک بر ضریب کارآئی.

## ۷- نتیجه‌گیری

بر اساس مطالعات پژوهش حاضر هندسه مناسب بالک آن است که لبه حمله به صورت خط راست باشد، لبه پشت بالک محدب باشد، زاویه شیب  $\beta$  بزرگ‌تر باشد، شعاع قسمت انتهایی بدنه پرتابه افزایش یابد، طول بالک‌ها افزایش یابد و تعداد بالک‌ها را تا حدود ۷ عدد افزایش داد.

محدودیت‌های در نظر گرفته شده برای طراحی بالک‌های پرتابه عبارتند از:

- طول کل پرتابه ثابت باقی بماند و
- مجموع ارتفاع بالک و شعاع قسمت انتهایی  $(h + rb)$
- کمتر از شعاع لوله پرتاب کننده باشد. به عبارت دیگر قطر دایره نوک بالک کمتر از کالیبر لوله پرتاب کننده باشد.

رونده طراحی بدین صورت است که ابتدا با توجه به محدوده ابعاد پرتابه، بالک ذوزنقه با زاویه شیب  $\beta$  بزرگ‌تر و حداقل ارتفاع  $h$ ، حداقل طول  $Slt$ ، حداقل قطر استوانه قسمت پشت بدنه پرتابه انتخاب می‌شود.

با نگاهی به منحنی‌ها مشخص است که تمام آنها تقریباً خطی هستند. بنابراین اثر ترکیبی پارامترها بر اساس اصل جمع آثار تخمین زده می‌شود. بررسی اثر ترکیبی پارامترها منجر به معرفی طرحی  $8$  بالکی با نسبت ارتفاع  $h/d = 1/0.8$  شده است که ضریب درگ آن  $7/1$ % کمتر و ضریب گشتاور پایدار کننده آن  $13/2$ % بیشتر از مدل مبنا است. در مجموع ضریب کارایی این طرح  $21/8$ % بیشتر از طرح مبنا بوده است. هر چند اکثر نتیجه‌های این مقاله در سیاری از موارد دیگر به صورت کیفی قابل تعمیم است، ولی بر اساس آن چه در بحث مدل‌سازی مطرح است، این نتیجه‌ها تنها به شرط تشابه هندسی پرتابه و تساوی اعداد بدون بعد مرتبط (به ویژه عدد ماخ)، به صورت کمی قابل تعمیم هستند.

## مراجع

1. Yang, Y., Jung, S., Cho, T., and Myong, R. "An Aerodynamic Shape Optimization Study to Maximize the Range of a Guided Missile", The 28<sup>th</sup> AIAA Appl. Aerodyn. Conf., Chicago, Illinois, 2010.
2. Izadpanah, E., Hekmat, M.H., and Mirzaei, M., "Numerical Investigation of Adjoint Method in Aerodynamic Optimization", Mech. & Aerospace

- Eng. J. (Fluids & Aerodynamics), Vol. 5, No. 1, pp. 75-86, 2009 (In Persian).
3. Walter, T.S. "Methods for Optimization of a Launch Vehicle for Pressure Fluctuation Levels and Axial Force", M.Sc. Thesis, Auburn Univ., 2008.
  4. Weierman, J. and Jacob, J.D. "Winglet Design and Optimization for UAVs", The 28th AIAA Applied Aerodyn. Conf., Chicago, Illinois, 2010.
  5. Yongyuan, L., Yi, J., and Chunping, H. "Shape Design of Lifting Body, Based on Genetic Algorithm", Information Eng. and Electronic Business, Vol. 2, No. 1, pp 37-43, 2010.
  6. Allen, C.B. and Rendall, T.C.S. "CFD-Based Shape Optimization of Hovering Rotors, Using Global and Local Parameters", The 28th AIAA Applied Aerodyn. Conf., Chicago, Illinois, 2010.
  7. Farhat, Ch., Mautet, K., Argrow, B., and Nikbay, M. "Shape Optimization Methodology for Reducing the Sonic Boom Initial Pressure Rise", AIAA J., Vol. 45, No. 5, pp. 1007-1018, 2007.
  8. Lesieutre, D., Dillenius, M. and Lesieutre, T. "Multi-disciplinary Design Optimization of Missile Configuration and Fin Planforms for Improved Performance", The 7th Symp. on Multi-disciplinary Analysis and Optimization, Saint Louis, MO, 1998.
  9. Nelson, A., Nemec, M., Aftosmis, M.J., and Pulliam, T.H. "Aerodynamic Optimization of Rocket Control Surfaces, Using Cartesian Methods and CAD Geometry", The 23<sup>rd</sup> AIAA Applied Aerodyn. Conf., Toronto, Ontario, 2005.
  10. Nobahari, H., Nabavi, Y. and Pourtakdoust, H. "Aerodynamic Shape Optimization of Unguided Projectiles, Using Ant Colony Optimization and Genetic Algorithm", The 25<sup>th</sup> Int. Cong. of Aeronautical Sciences, Hamburg, Germany, 2006.
  11. Al-Garni, A.Z., Kassem, A.H., and Abdallah, A.M. "Aerodynamic-Shape Optimization of Supersonic-Missiles, Using Monte-Carlo", Int. Review of Aerospace Eng. (I.R.E.A.S.E), Vol. 1, No. 1, 2008.
  12. Theisinger, J.E., Braun, R.D., and Clark, I.G. "Aerothermodynamic Shape Optimization of Hypersonic Entry Aeroshells", The 13<sup>th</sup> AIAA/ISSMO Multi-disciplinary Analysis Optimization Conf., Fort Worth, TX, 2010.
  13. Theisinger, J.E. and Braun, R.D. "Multiobjective Hypersonic Entry Aeroshell Shape Optimization", AIAA, Georgia Institute of Tech., 2008.
  14. Theisinger, J.E. "Hypersonic Entry Aeroshell Shape Optimization", Space Sys. Design Lab (SSDL), Georgia Institute of Tech., 2007.
  15. Rallabhandi, S. "Sonic Boom Minimization through Vehicle Shape Optimization and Probabilistic Acoustic Propagation", PhD Dissertation, Georgia Institute of Tech., 2005.

19. Malek-Jafarian, M. and Pasandideh-Fard, M. "Three-dimensional Transonic Flow Computations over a Projectile and at the Base Region", JAST, Vol. 2, No. 1, pp. 7-14, 2005.
20. Sahu, J. "Three-dimensional Base-Flow Calculation for a Projectile at Transonic Velocity", AIAA Journal, Vol. 27, No. 2, pp. 138-139, 1989.
21. Kayser, L.D. and Whiton, F. "Surface Pressure Measurement on a Boattailed Projectile Shape at Transonic Speeds", ARBRL-MR-03161, 1982.
22. Arfken, G. "Chebyshev (Tschebyscheff) Polynomials and Chebyshev Polynomials--Numerical Applications", The 3rd Ed., Orlando, FL, Academic Press, pp. 731-748, 1985.
16. Jameson, A., Schmidth, W., and Turkel, E. "Numerical Solution of the Euler Equations by Finite Volume Methods, Using Runge Kutta Time Stepping Schemes", AIAA, The 14th Fluid Dynamics and Plasma Dynamics Conf, Palo, Alto, California, 1981.
17. Pasandide-Fard, M. and Malek-Jafarian, M. "Full Navier Stokes Computations of Supersonic Flows over a Body at High Angles of Attack and Investigation of Cross Flow Separation", Scientia Iranica J., Vol. 11, No. 4, pp. 339-350, 2004.
18. Montazeri, H. "3D Numerical Analysis & Parametric Study of Supersonic Projectiles with Fins, Using Multi-block Grid Generations", MSc. Thesis, Eng. Faculty of Ferdowsi Univ., Iran, 2005 (In Persian).

